

МИНИСТЕРСТВО ОБРАЗОВАНИЯ РОССИЙСКОЙ ФЕДЕРАЦИИ
НАЦИОНАЛЬНЫЙ ИССЛЕДОВАТЕЛЬСКИЙ УНИВЕРСИТЕТ
«МОСКОВСКИЙ ЭНЕРГЕТИЧЕСКИЙ ИНСТИТУТ»
Кафедра робототехники, динамики и прочности машин

Лабораторная работа

По дисциплине «Управление роботами и мехатронными устройствами»
На тему : «Моделирование управляемого движения мобильного робота»

Студенты:

Уткин А.Е.

Волошанин Д.М

Группа: С-12Б-19

Преподаватель:

Гавриленко А.Б.

Москва 2022

Содержание

Задание для выполнения ЛР.....	3
Лабораторная работа №1 «Движение тележки робота в прогнозе с управлением по скоростям геометрического центра тележки»	3
Вывод кинематических формул, связывающих линейные и угловые скорости геометрического центра платформы и угловые скорости колес.....	4
Обработка данных	7
Описание систем координат	10
Варианты управления роботом.....	17
Описание математической модели с учетом запаздывания, определение запаздывания.....	18
Модель кулоновского трения, определение параметров модели.....	19
Формула определения матожидания и СКО	21
Определение погрешности в виде случайной величины с СКО и матожиданием.....	Ошибка! Закладка не определена.
Графики к лабораторной работе (а тут свой отчет вставишь).....	Ошибка! Закладка не определена.

Задание для выполнения ЛР.

Лабораторная работа №1 «Движение тележки робота в прогнозе с управлением по скоростям геометрического центра тележки»

В лабораторной работе №1 рассматривается поступательное движение робота по заданной траектории. Для движения робота будут сформированы скорости во всех точках траектории.

Для подготовки к ЛР1 необходимо сформировать файл со скоростями V_x, V_y, Ω разделенных пробелами. На каждой строке 3 числа.

Для проверки правильности нахождения скоростей для траектории выполнить обратную задачу построения траектории по скоростям. Для этого необходимо проинтегрировать скорости методом Эйлера с заданным шагом и получить массив точек на траектории, построить график $x(y)$.

Координаты в неподвижной системе координат. Началом координат является начальная точка траектории

$$x(0)=0, y(0)=0, \psi(0)=0$$

$$x(i)=x(i-1)+dt*(V_x(i-1)*\cos(\psi(i-1))-V_y(i-1)*\sin(\psi(i-1)));$$

$$y(i)=y(i-1)+dt*(V_y(i-1)*\cos(\psi(i-1))+V_x(i-1)*\sin(\psi(i-1)));$$

$$\psi(i)=\psi(i-1)+dt*\Omega(i-1);$$

Вывод кинематических формул, связывающих линейные и угловые скорости геометрического центра платформы и угловые скорости колес

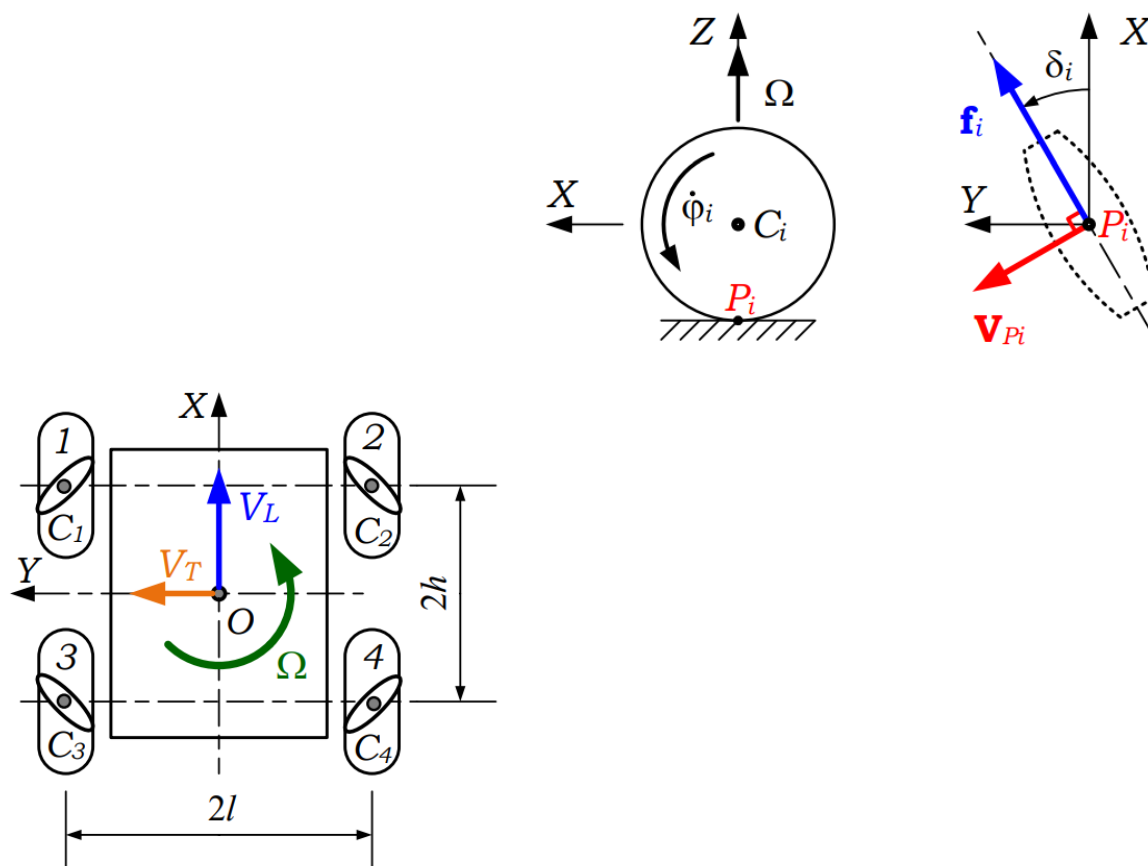


Рисунок 1.1 – Условная схема платформы.

Рисунок 1.2 – Колесо и ролик платформы

Найдем скорость точки контакта P_i , используя формулы Эйлера:

$$\begin{aligned}\vec{v}_{P_i} &= \vec{v}_{C_i} + [\vec{\omega}_{\text{кол}_i}, \vec{r}_{C_i P_i}], \\ \vec{v}_{C_i} &= \vec{v}_O + [\vec{\omega}_{\text{пл}}, \vec{r}_{OC_i}].\end{aligned}$$

Таким образом,

$$\vec{v}_{P_i} = \vec{v}_O + [\vec{\omega}_{\text{пл}}, \vec{r}_{OC_i}] + [\vec{\omega}_{\text{кол}_i}, \vec{r}_{C_i P_i}].$$

Последнее уравнение можно записать в проекциях на оси платформенной СК OXYZ:

$$\begin{bmatrix} V_{P_i X} \\ V_{P_i Y} \\ 0 \end{bmatrix} = \begin{bmatrix} V_L \\ V_T \\ 0 \end{bmatrix} + \begin{bmatrix} 0 & -\Omega & 0 \\ \Omega & 0 & 0 \\ 0 & 0 & 0 \end{bmatrix} \begin{bmatrix} h_i \\ l_i \\ 0 \end{bmatrix} + \begin{bmatrix} 0 & -\Omega & \dot{\phi}_i \\ \Omega & 0 & 0 \\ -\dot{\phi}_i & 0 & 0 \end{bmatrix} \begin{bmatrix} 0 \\ 0 \\ -R \end{bmatrix}.$$

Получаем,

$$\begin{aligned}V_{P_i X} &= V_L - \Omega l_i - R\dot{\varphi}_i, \\V_{P_i Y} &= V_T + \Omega h_i\end{aligned}$$

Условие в точке контакта:

$$\begin{aligned}(\vec{v}_{P_i}, \vec{f}_i) &= V_{P_i X} \cos \delta_i + V_{P_i Y} \sin \delta_i = \\(V_L - \Omega l_i - R\dot{\varphi}_i) \cos \delta_i &+ (V_T + \Omega h_i) \sin \delta_i = 0.\end{aligned}$$

Выразим скорость вращения i -го колеса,

$$\dot{\varphi}_i = \frac{1}{R} [V_L + V_T \operatorname{tg} \delta_i + (h_i \operatorname{tg} \delta_i - l_i) \Omega].$$

Таким образом,

Колесо 1. $\delta_1 = -45^\circ$, $l_1 = l$, $h_1 = h$:

$$\dot{\varphi}_1 = \frac{1}{R} [V_L - V_T - (h + l) \Omega].$$

Колесо 2. $\delta_2 = 45^\circ$, $l_2 = -l$, $h_2 = h$:

$$\dot{\varphi}_2 = \frac{1}{R} [V_L + V_T + (h + l) \Omega].$$

Колесо 3. $\delta_3 = 45^\circ$, $l_3 = l$, $h_3 = -h$:

$$\dot{\varphi}_3 = \frac{1}{R} [V_L + V_T - (h + l) \Omega].$$

Колесо 4. $\delta_4 = -45^\circ$, $l_4 = -l$, $h_4 = -h$:

$$\dot{\varphi}_4 = \frac{1}{R} [V_L - V_T + (h + l) \Omega].$$

Получаем расчетные формулы для скоростей вращения колес:

$$\begin{aligned}\dot{\varphi}_1 &= \frac{1}{R} [V_L - V_T - (l + h) \Omega], \\ \dot{\varphi}_2 &= \frac{1}{R} [V_L + V_T + (l + h) \Omega], \\ \dot{\varphi}_3 &= \frac{1}{R} [V_L + V_T - (l + h) \Omega], \\ \dot{\varphi}_4 &= \frac{1}{R} [V_L - V_T + (l + h) \Omega].\end{aligned}$$

Обработка данных

Определяем запаздывание данных о реальной траектории относительно идеальной. Есть 2 массива данных о координатах и скоростях - идеальный и реальный с привязкой по времени.

Находим рассогласование по координатам и скоростям $dX, dY, delPsi, dVx, dVy, ddPsi$.

$$dX[i] = X_{id}[i] - X_{rf}[i]$$

$$dY[i] = Y_{id}[i] - Y_{rf}[i]$$

$$delPsi[i] = Psi_{id}[i] - psi_{rf}[i]$$

$$dVx[i] = Vx_{id}[i] - Vx_{rf}[i]$$

$$dVy[i] = Vy_{id}[i] - Vy_{rf}[i]$$

$$ddPsi[i] = Om_{id}[i] - dPsi_{rf}[i]$$

Где $Vx_{id}[i]$ - идеальная скорость на i шаге;

$Vx_{rf}[i]$ - реальная скорость из файла данных на i шаге;

$X_{id}[i]$ - идеальная координата на i шаге;

$X_{rf}[i]$ - реальная координата из файла данных на i шаге; остальные параметры аналогично.

Каждая из описанных переменных это массив размерностью $T/dt+1$ где T – время моделирования; dt – шаг счета

Идеальные координаты предварительно получаем путем интегрирование полученных идеальных скоростей. Для этого воспользуемся следующими формулами:

$$x(0)=0, y(0)=0, psi(0)=0$$

$$x(i)=x(i-1)+dt*(Vx(i-1)*cos(psi(i-1))-Vy(i-1)*sin(psi(i-1)));$$

$$y(i)=y(i-1)+dt*(Vy(i-1)*cos(psi(i-1))+Vx(i-1)*sin(psi(i-1)));$$

$$psi(i)=psi(i-1)+dt*OM(i-1);$$

Зададим модель ошибок движения по траектории.

$$dX[i] = Vx_id[i] * dtzap + \int dV_xdt \quad (*)$$

dtzap – неизвестное время запаздывания. Аналогичные формулы для остальных координат.

Интеграл погрешностей по скоростям находим следующим образом

$$\begin{aligned} \int_0^{t[1]} dV_xdt &= dV_x[0] * dt \\ \int_0^{t[2]} dV_xdt &= dV_x[0] * dt + dV_x[1] * dt \\ \int_0^{t[n]} dV_xdt &= \sum_{i=1}^n dV_x[i] * dt \end{aligned}$$

$$dV_x[i] = Vx_id[i] - Vx_rf[i]$$

$Vx_id[i]$ - идеальная скорость на i шаге;

$Vx_rf[i]$ - реальная скорость из файла данных на i шаге;

Модель ошибок в виде уравнений (*) можно записать в матричной форме

$$B[n,1] = A[n,1] * dtzap$$

$B[n,1]$ - блочная матрица столбец свободных членов;

$A[n,1]$ - блочная матрица матрица коэффициентов;

$$B_{i,1} = \begin{bmatrix} dX[i] - \int_0^{t[i]} dV_xdt \\ dY[i] - \int_0^{t[i]} dV_ydt \\ delPsi[i] - \int_0^{t[i]} ddpsidt \end{bmatrix} \quad A_{i,1} = \begin{bmatrix} Vx_id[i] \\ Vy_id[i] \\ dpsi_id[i] \end{bmatrix}$$

Всего n блоков по 3 строчки где n количество точек при движении по траектории.

$$B[n,1] = A[n,1] * dtzap$$

Используем псевдообратные матрицы,

$$\left(A_{[n,1]}^T * A_{[n,1]}\right)^{-1} * A_{[n,1]}^T B_{[n,1]} = dtzap$$

Обратная задача. После определения времени запаздывания и интеграла погрешностей по скоростям необходимо выполнить обратную задачу получить координаты используя следующую формулу

$$X_{vost[i]} = X_{rf[i]} + Vx_{id[i]} * dtzap + \int_0^{t[i]} dV_x dt$$

Описание систем координат

Неподвижная система координат - система координат совпадающая со связанной в начальный момент времени. ось X вдоль платформы робота Y направлена влево от направления движения робота Z направлена вверх. Начало координат находится в начальном положении геометрического центра платформы.

Связанная система координат - в любом положении робота начало координат в геометрическом центре платформы ось x вдоль платформы робота y направлена влево от направления движения робота z направлена вверх.

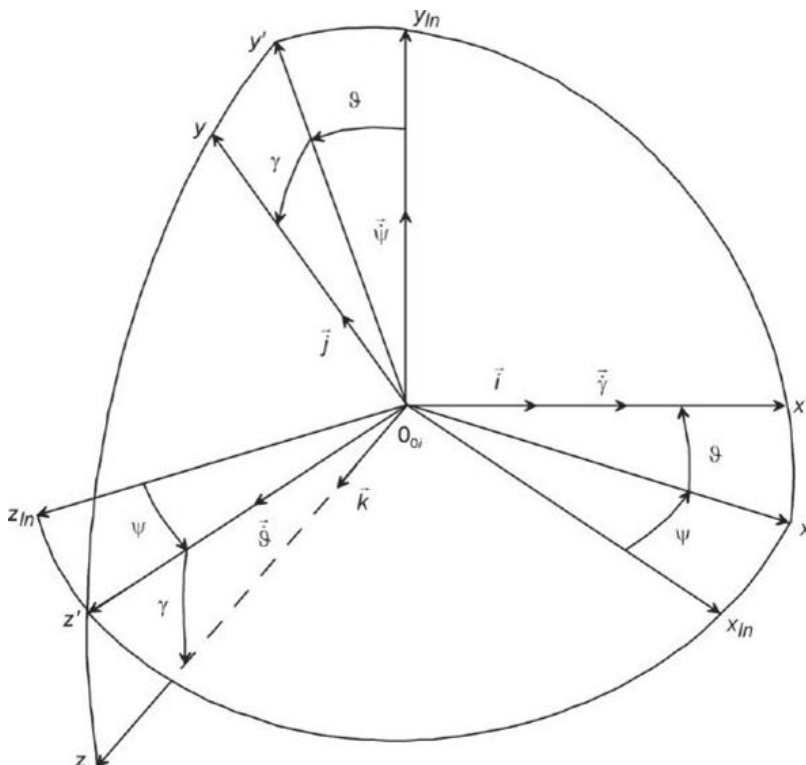
Реальные скорости в ССК связаны с реальными скоростями в НСК при помощи угла курса ψ

$$V_{Xp} = V_{xp} \cdot \cos(\psi) - V_{yp} \cdot \sin(\psi)$$

$$V_{Yp} = V_{xp} \cdot \sin(\psi) + V_{yp} \cdot \cos(\psi)$$

Интегрируя сформированные реальные скорости в ССК

Получаем X_p, Y_p – движения по заданной траектории.



Матрица направляющих косинусов:

$$\begin{aligned}
 R_{\varphi, \theta, \psi} &= R_{z, \varphi} R_{y, \theta} R_{x, \psi} = \\
 &= \begin{bmatrix} C\varphi & -S\varphi & 0 \\ S\varphi & C\varphi & 0 \\ 0 & 0 & 1 \end{bmatrix} \begin{bmatrix} C\theta & 0 & S\theta \\ 0 & 1 & 0 \\ -S\theta & 0 & C\theta \end{bmatrix} \begin{bmatrix} C\psi & -S\psi & 0 \\ S\psi & C\psi & 0 \\ 0 & 0 & 1 \end{bmatrix} = \\
 &= \begin{bmatrix} C\varphi C\theta C\psi - C\varphi S\psi & -C\varphi C\theta S\psi - S\varphi C\psi & C\varphi S\theta \\ S\varphi C\theta C\psi + C\varphi S\psi & -S\varphi C\theta S\psi + C\varphi C\psi & S\varphi S\theta \\ -S\theta C\psi & S\theta S\psi & C\theta \end{bmatrix}. \quad (\text{П1.20})
 \end{aligned}$$

Стандартные матрицы поворота.

Поворот вокруг оси x:

$$M_x(\theta) = \begin{pmatrix} 1 & 0 & 0 \\ 0 & \cos \theta & -\sin \theta \\ 0 & \sin \theta & \cos \theta \end{pmatrix}. \quad (1)$$

Поворот вокруг оси y:

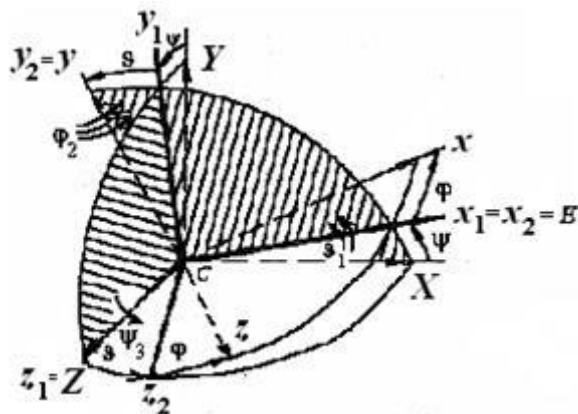
$$M_y(\theta) = \begin{pmatrix} \cos \theta & 0 & \sin \theta \\ 0 & 1 & 0 \\ -\sin \theta & 0 & \cos \theta \end{pmatrix}. \quad (2)$$

Поворот вокруг оси z:

$$M_z(\theta) = \begin{pmatrix} \cos \theta & -\sin \theta & 0 \\ \sin \theta & \cos \theta & 0 \\ 0 & 0 & 1 \end{pmatrix}. \quad (3)$$

Углы Эйлера-Крылова:

- Положение подвижной системы координат S_{xyz} , неизменно связанной с кораблем, относительно неподвижной $SXYZ$ для каждого момента времени определяется тремя углами Крылова: **углом дифферента**, **углом крена**, **углом рыскания**

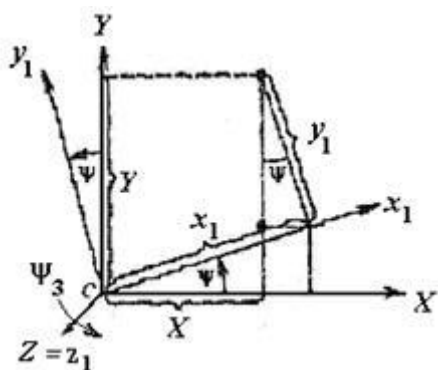


плоскость SXY пересекает плоскость Sxy по некоторой прямой, образующей угол с осью SX и угол с осью Sx .

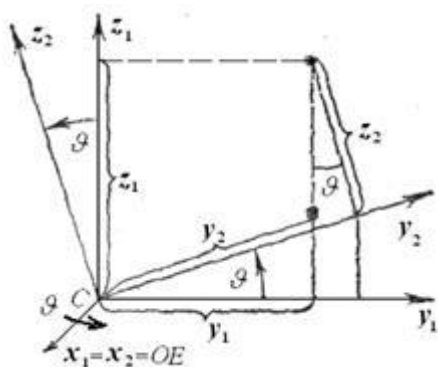
Плоскость CYZ пересекает плоскость $Cx_1y_1z_1$ по линии Cy_1 , образуя угол с осью Cy_1 . Рассмотрим переход от системы $CXYZ$ к системе $Cx_1y_1z_1$, выполненный с помощью трех поворотов

Для совмещения системы $CXYZ$ с системой $Cx_1y_1z_1$ достаточно:

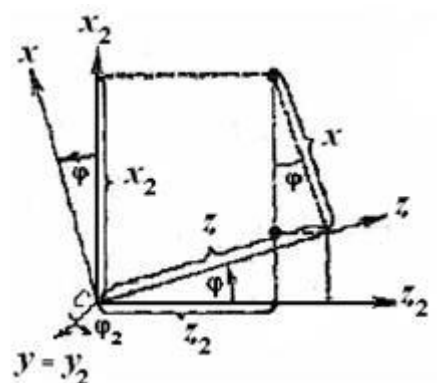
1) повернуть систему $CXYZ$ вокруг третьей из координатных осей CZ на угол дифферента, в результате чего получим систему $Cx_1y_1z_1$, причем $Cz_1 = CZ$ (рис. 3.3);



2) повернуть систему $Cx_1y_1z_1$ вокруг первой из координатных осей Cx_1 на угол крена, в результате чего получим систему $Cx_2y_2z_2$, при этом (рис. 3.4);



3) повернуть систему $Cx_2y_2z_2$ вокруг второй из координатных осей Cy_2 на угол рыскания (рис. 3.5), в результате чего приходим к системе $Cx_3y_3z_3$.



Формулы преобразования координат связаны следующими соотношениями:

1) от $CXYZ$ к (рис. 3.3)

$$X = x_1 \cos \psi - y_1 \sin \psi + 0 ,$$

$$Y = x_1 \sin \psi + y_1 \cos \psi + 0 , \quad (3.1)$$

$$Z = 0 + 0 + z_1 ,$$

или в матричной форме:

$$\begin{bmatrix} X \\ Y \\ Z \end{bmatrix} = \{a_{3\psi}\}^T \begin{bmatrix} x_1 \\ y_1 \\ z_1 \end{bmatrix} , \quad (3.2)$$

где $\{a_{3\psi}\}^T$ - матрица, транспонированная к матрице $\{a_{3\psi}\}$, описывающей поворот системы $CXYZ$ вокруг третьей координатной оси CZ на угол дифферента ψ ,

$$\{a_{3\psi}\}^T = \begin{bmatrix} \cos \psi & -\sin \psi & 0 \\ \sin \psi & \cos \psi & 0 \\ 0 & 0 & 1 \end{bmatrix} ; \quad (3.3)$$

2) от системы к системе (рис. 3.4)

$$x_1 = x_2 + 0 + 0 ,$$

$$y_1 = 0 + y_2 - z_2 , \quad (3.4)$$

$$z_1 = 0 + y_2 + z_2 ,$$

или в матричной форме

$$\begin{pmatrix} x_1 \\ y_1 \\ z_1 \end{pmatrix} = \{a_{1j}\}^T \begin{pmatrix} x_2 \\ y_2 \\ z_2 \end{pmatrix}, \quad (3.5)$$

где $\{a_{1j}\}^T$ – матрица, транспонированная к матрице $\{a_{1j}\}$, задающей преобразование поворота от осей системы к осям системы вокруг первой из координатных осей на угол крена Θ , при этом $\Theta = \arctan \frac{z_1}{y_1}$,

$$\{a_{1j}\}^T = \begin{pmatrix} 1 & 0 & 0 \\ 0 & \cos \Theta & -\sin \Theta \\ 0 & \sin \Theta & \cos \Theta \end{pmatrix}; \quad (3.6)$$

3) от системы координат к системе S_{xyz} (рис. 3.5)

$$x_2 = x \cos j + 0 + z \sin j,$$

$$y_2 = 0 + y + 0, \quad (3.7)$$

$$z_2 = -x \sin j + 0 + z \cos j,$$

или в матричной форме $\begin{pmatrix} x_2 \\ y_2 \\ z_2 \end{pmatrix} = \{a_{2j}\} \begin{pmatrix} x \\ y \\ z \end{pmatrix}$, или

$$\begin{pmatrix} x_2 \\ y_2 \\ z_2 \end{pmatrix} = \{a_{2j}\} \begin{pmatrix} x \\ y \\ z \end{pmatrix}. \quad (3.8)$$

Причем поворотная матрица $\{a_{2j}\}^T$ – это матрица, транспонированная к матрице $\{a_{2j}\}$, задающей преобразование поворота от осей системы к осям системы S_{xyz} на угол рыскания j вокруг второй из координатных осей y , имеет вид

$$\{a_{2j}\}^T = \begin{pmatrix} \cos \varphi & 0 & \sin \varphi \\ 0 & 1 & 0 \\ -\sin \varphi & 0 & \cos \varphi \end{pmatrix}. \quad (3.9)$$

Для любой точки M тела с координатами x, y, z в подвижной системе координат, жестко связанной с ним, и с ее же координатами X, Y, Z – в

неподвижной системе координат можно установить взаимосвязь проекций вектора точки на оси двух систем координат,

$$\vec{r} = \{\alpha_{30}, \alpha_{20}, \alpha_{10}\}^T \cdot \vec{r}, \quad (3.10)$$

или в матричном виде

$$[X] = \{\alpha_{30}, \alpha_{20}, \alpha_{10}\}^T [x] \quad \text{или} \quad \begin{bmatrix} X \\ Y \\ Z \end{bmatrix} = \{\alpha_{30}, \alpha_{20}, \alpha_{10}\}^T \begin{bmatrix} x \\ y \\ z \end{bmatrix}, \quad (3.11)$$

где углы Крылова являются некоторыми функциями времени: угол дифферента, угол крена, угол рыскания.

Матрица транспонирована к матрице направляющих косинусов, задающей преобразование поворота от осей неподвижной системы $CXYZ$ к осям подвижной системы $Cxyz$, неизменно связанной с кораблем. Очевидно, что при движении тела координаты x, y, z остаются постоянными в отличие от координат X, Y, Z .

Подставляя в (3.2) соотношения (3.5) и (3.8), получаем:

Сравнивая (3.11) и (3.12), находим, что искомая матрица является произведением трех поворотных матриц

$$\begin{aligned} &= \{\alpha_{30}\}^T \cdot \{\alpha_{20}\}^T \cdot \{\alpha_{10}\}^T = \\ &= \begin{bmatrix} \cos\psi & -\sin\psi & 0 \\ \sin\psi & \cos\psi & 0 \\ 0 & 0 & 1 \end{bmatrix} \times \begin{bmatrix} 1 & 0 & 0 \\ 0 & \cos\theta & -\sin\theta \\ 0 & \sin\theta & \cos\theta \end{bmatrix} \times \begin{bmatrix} \cos\varphi & 0 & \sin\varphi \\ 0 & 1 & 0 \\ -\sin\varphi & 0 & \cos\varphi \end{bmatrix} = \\ &= \begin{pmatrix} \cos\psi\cos\varphi - \sin\psi\sin\theta\sin\varphi & -\sin\psi\cos\theta & \cos\psi\sin\varphi + \sin\psi\sin\theta\cos\varphi \\ \sin\psi\cos\varphi - \cos\psi\sin\theta\sin\varphi & \cos\psi\cos\theta & \sin\psi\sin\varphi - \cos\psi\sin\theta\cos\varphi \\ -\cos\theta\sin\varphi & \sin\theta & \cos\theta\cos\varphi \end{pmatrix}. \quad (3.13) \end{aligned}$$

Подставляя в (3.2) соотношение (3.5), получаем промежуточное соотношение, которое может понадобиться в дальнейшем, $[X] = [x \ 2]$. Промежуточная поворотная матрица = находится как произведение двух матриц поворота:

$$\begin{aligned}
&= \begin{Bmatrix} \cos\psi & -\sin\psi & 0 \\ \sin\psi & \cos\psi & 0 \\ 0 & 0 & 1 \end{Bmatrix} \times \begin{Bmatrix} 1 & 0 & 0 \\ 0 & \cos\vartheta & -\sin\vartheta \\ 0 & \sin\vartheta & \cos\vartheta \end{Bmatrix} = \\
&= \begin{Bmatrix} \cos\psi & -\sin\psi\cos\vartheta & \sin\psi\sin\vartheta \\ \sin\psi & \cos\psi\cos\vartheta & -\cos\psi\sin\vartheta \\ 0 & \sin\vartheta & \cos\vartheta \end{Bmatrix}. \quad (3.13a)
\end{aligned}$$

Варианты управления роботом

- Управление движением базы за счёт управления колесами

$$\omega_1 = (V_x - V_y - (h + l) \cdot \omega) / R;$$

```
setVelo.angularVelocity = omega_1*radian_per_second;
```

```
myYouBotBase->getBaseJoint(1).setData(setVelo);
```

$$\omega_2 = (V_x + V_y + (h + l) \cdot \omega) / R;$$

```
setVelo.angularVelocity = -omega_2*radian_per_second;
```

```
myYouBotBase->getBaseJoint(2).setData(setVelo);
```

$$\omega_3 = (V_x + V_y - (h + l) \cdot \omega) / R;$$

```
setVelo.angularVelocity = omega_3*radian_per_second;
```

```
myYouBotBase->getBaseJoint(3).setData(setVelo);
```

$$\omega_4 = (V_x - V_y + (h + l) \cdot \omega) / R;$$

```
setVelo.angularVelocity = -omega_4*radian_per_second;
```

```
myYouBotBase->getBaseJoint(4).setData(setVelo);
```

- Управление платформой за счёт задания скоростей в ССК

```
longitudinalVelocity = Vx * meter_per_second;
```

```
transversalVelocity = Vy * meter_per_second;
```

```
angularVelocity = OM * radian_per_second;
```

```
myYouBotBase->setBaseVelocity(longitudinalVelocity, transversalVelocity,  
                               angularVelocity);
```

В ЛР 1-6 используется второй способ управления – за счёт задания скоростей в ССК

Описание математической модели с учетом запаздывания, определение запаздывания

Модель ошибок движения по траектории:

$$dX(i) = Vx_{ideal}(i)dtzap + \int_0^{t(i)} dVx(i) dt$$

$Vx_{ideal}(i)$ - идеальная скорость на i-м шаге

$dX(i) = X_{ideal}(i) - X_{real}(i)$ - рассогласование по координате x на i-м шаге

$dVx(i) = Vx_{ideal}(i) - Vx_{real}(i)$ - рассогласование по скорости Vx на i-м шаге

$dtzap$ - неизвестное время запаздывания

Аналогично для других координат

Эту модель ошибок можно записать в матричной форме:

$$B_{(n,1)} = A_{(n,1)}dtzap$$

Запаздывание - явление, заключающееся в том, что с началом изменения сигнала на входе системы (устройства) сигнал на выходе системы начинает изменяться только спустя некоторое время (время запаздывания).

Всего n блоков по 3 строчки где n количество точек при движении по траектории.

Используем псевдообратные матрицы

$$(A_{[n,1]}^T * A_{[n,1]})^{-1} * A_{[n,1]}^T B_{[n,1]} = dtzap$$

После определения времени запаздывания и интеграла погрешностей по скоростям необходимо выполнить обратную задачу получить координаты, используя следующую формулу

$$X_{vost}[i] = X_{rf}[i] + Vx_{id}[i] * dtzap + \int_0^{t[i]} dV_x dt$$

Знак слагаемого для dtzap зависит от увеличения или уменьшения СКО.

Сравниваем восстановленные координаты и идеальные точность должна повысится.

Модель кулоновского трения, определение параметров модели

Модель кулоновского движения применяется для поступательного движения

$$\begin{cases} \xi_L V_L + \frac{F_1}{R} \Sigma \text{sign} \dot{\phi}_l = F_L - m_a \dot{V}_L \\ \xi_T V_T + \frac{F_1}{R} (\text{sign} \dot{\phi}_l) + F_2 \frac{4\sqrt{2}}{r} \text{sign} V_T = F_T - m_a \dot{V}_T \end{cases} \quad (1)$$

Уравнения 1 можно представить в матричной форме

$$H * p = b$$

p- столбец неизвестных в уравнениях (1)

$$p = \begin{bmatrix} \xi_L \\ \xi_T \\ F_1 \\ F_2 \end{bmatrix}$$

H- матрица коэффициентов для формирования уравнений (1)

$$H = \begin{pmatrix} V_L & 0 & \frac{\Sigma \text{sign} \dot{\phi}_k}{R} & 0 \\ 0 & V_T & \frac{(\text{sign} \dot{\phi}_k)}{R} & \frac{4\sqrt{2}}{r} \text{sign} V_T \end{pmatrix}$$

$$K=1..4$$

b –столбец известных

$$b = \begin{pmatrix} F_L - m_a \dot{V}_L \\ F_T - m_a \dot{V}_T \end{pmatrix}$$

Необходимо сформировать на каждом шаге F_L, F_T на основании моментов $M_1 - M_4$:

$$F_L = \frac{1}{R}(M_1 + M_2 + M_3 + M_4)$$

$$F_T = \frac{1}{R}(-M_1 + M_2 + M_3 - M_4)$$

На основании угловых скоростей колёс $\omega_1, \omega_2, \omega_3, \omega_4$ находим на каждом шаге скорости V_L, V_T :

$$V_L = \frac{1}{4R}(\omega_1 + \omega_2 + \omega_3 + \omega_4)$$

$$V_T = \frac{1}{4R}(-\omega_1 + \omega_2 + \omega_3 - \omega_4)$$

Получив скорости, на каждом шаге находим ускорение \dot{V}_L, \dot{V}_T :

$$\dot{V}_{Li} = \frac{V_{Li} - V_{Li-1}}{t_i - t_{i-1}}$$

$$\dot{V}_{Ti} = \frac{V_{Ti} - V_{Ti-1}}{t_i - t_{i-1}}$$

Требуется идентифицировать параметры трения F_1, F_2, ξ_L, ξ_T :

$$p = \begin{bmatrix} \xi_L \\ \xi_T \\ F_1 \\ F_2 \end{bmatrix}$$

На каждом j -том шаге система (1) принимает вид $H_j p = b_j$, где:

$$b_j = \begin{pmatrix} F_{Lj} - m_a \dot{V}_{Lj} \\ F_{Tj} - m_a \dot{V}_{Tj} \end{pmatrix}$$

$$H_j = \begin{pmatrix} V_{Lj} & 0 & \frac{\Sigma \text{sign} \dot{\phi}_{kj}}{R} & 0 \\ 0 & V_{Tj} & \frac{(\text{sign} \dot{\phi}_{kj})}{R} & \frac{4\sqrt{2}}{r} \text{sign} V_{Tj} \end{pmatrix}$$

Здесь m_a – масса робота, r – радиус ролика, $\text{sign} \dot{\phi}_{kj} = (-\text{sign} \dot{\phi}_{1j} + \text{sign} \dot{\phi}_{2j} + \text{sign} \dot{\phi}_{3j} - \text{sign} \dot{\phi}_{4j})$ $j=1..n$ где n это число снятых строчек данных $n=t/dt$

Используя измерения из файла, формируем блочные матрицы:

$$H = \begin{pmatrix} H_1 \\ H_2 \\ \vdots \\ H_n \end{pmatrix}, b = \begin{pmatrix} b_1 \\ b_2 \\ \vdots \\ b_n \end{pmatrix}$$

Формируем переопределённую систему $H \cdot p = b$. Для нахождения p формируем псевдообратную матрицу:

$$H^T H p = H^T b$$

$$p = (H^T H)^{-1} H^T b$$

Формула определения матожидания и СКО

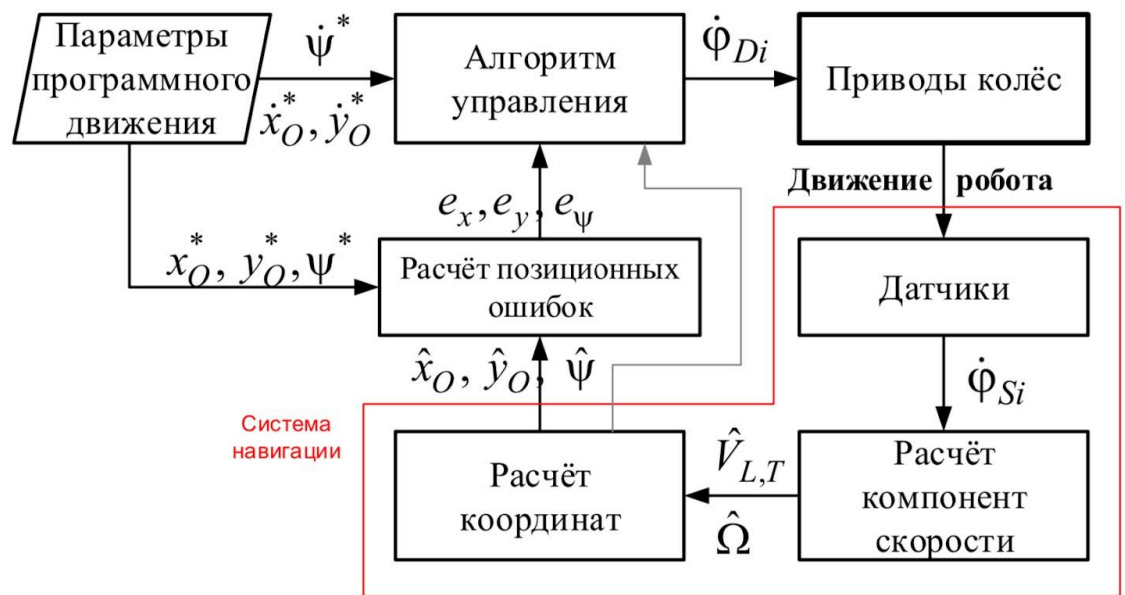
Формула нахождения матожидания:

$$M = \frac{1}{n} \sum_{i=1}^n V_i$$

Формула нахождения СКО:

$$\sigma = \sqrt{\frac{\sum_{i=1}^n (x_i - \mu)^2}{n}}$$

Алгоритм стабилизации программного движения по данным одометрии



В общем случае можно использовать ПИД-регулирование:

$$\dot{x}_O = \dot{x}_O^* - K_{Px}e_x - K_{Ix} \int_0^t e_x dt - K_{Dx}\dot{e}_x$$

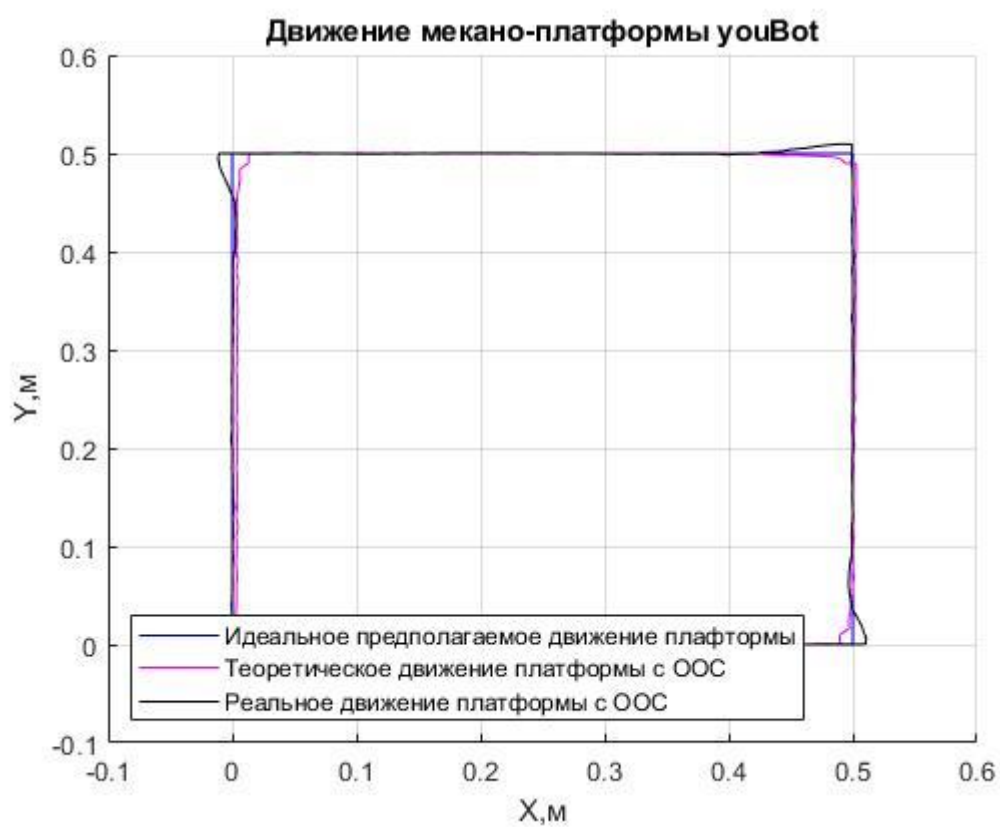
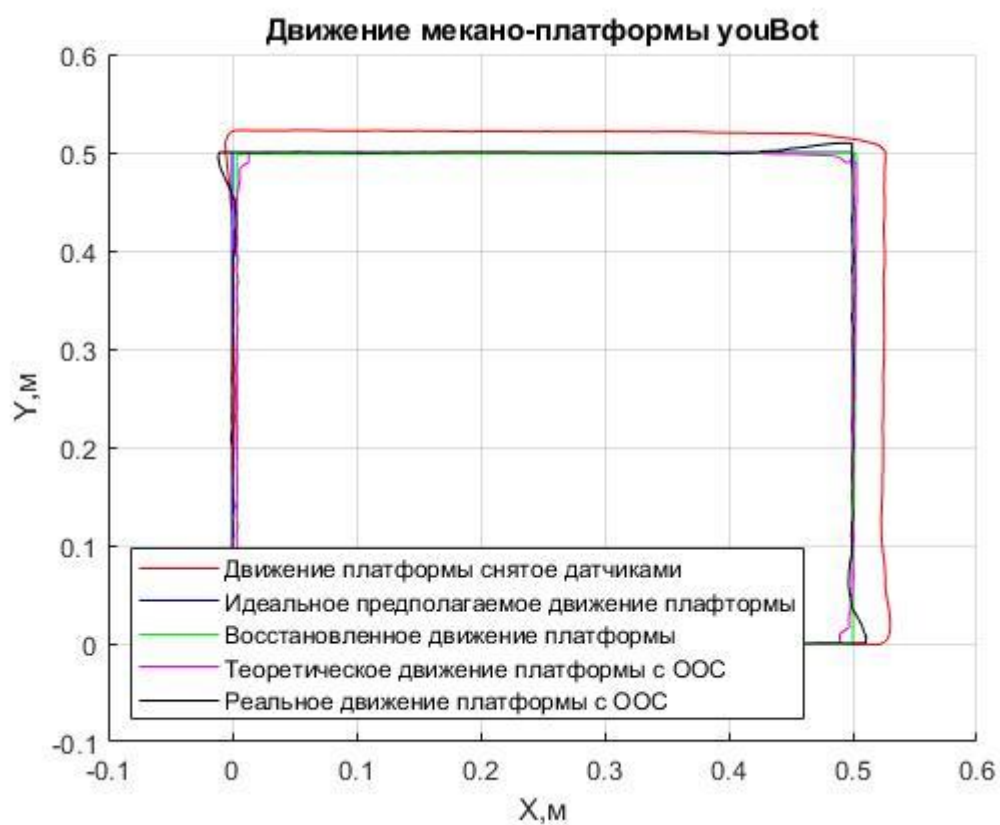
или, если $\dot{x}^* = \text{const}$,

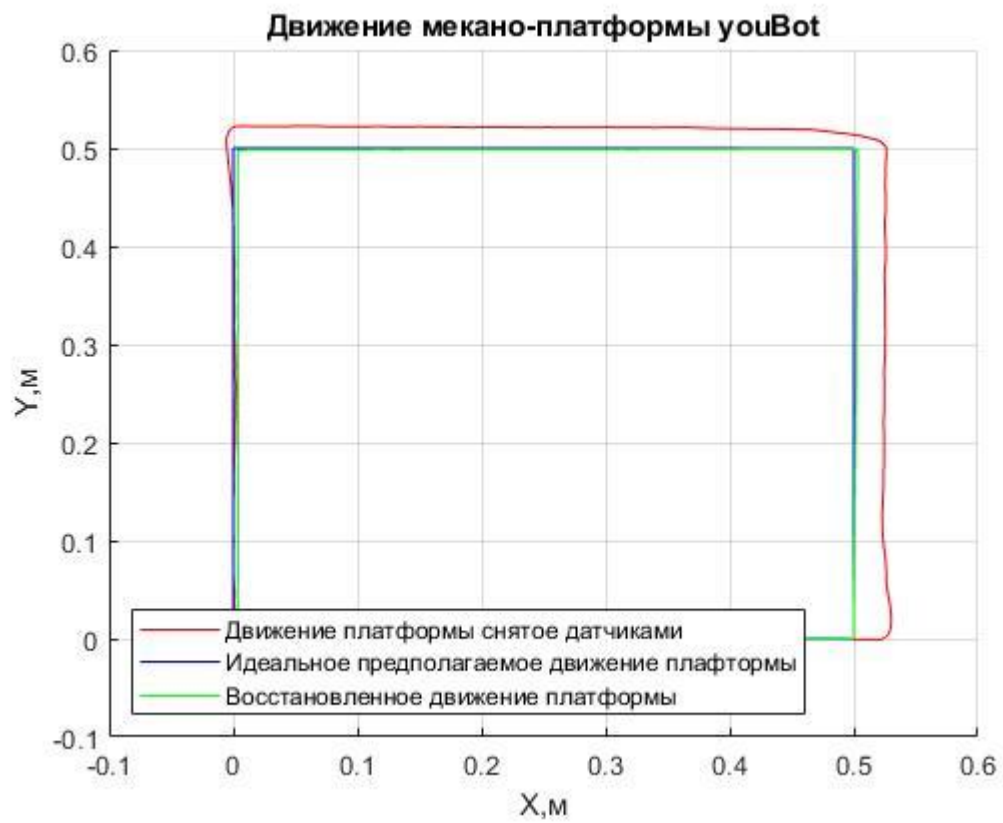
$$\dot{x}_O = -K_{Px}e_x - K_{Ix} \int_0^t e_x dt - K_{Dx}\dot{e}_x.$$

При движении вдоль полосы отклонение от программной траектории (полосы) можно определить по информации с камеры (сразу в подвижных осях).

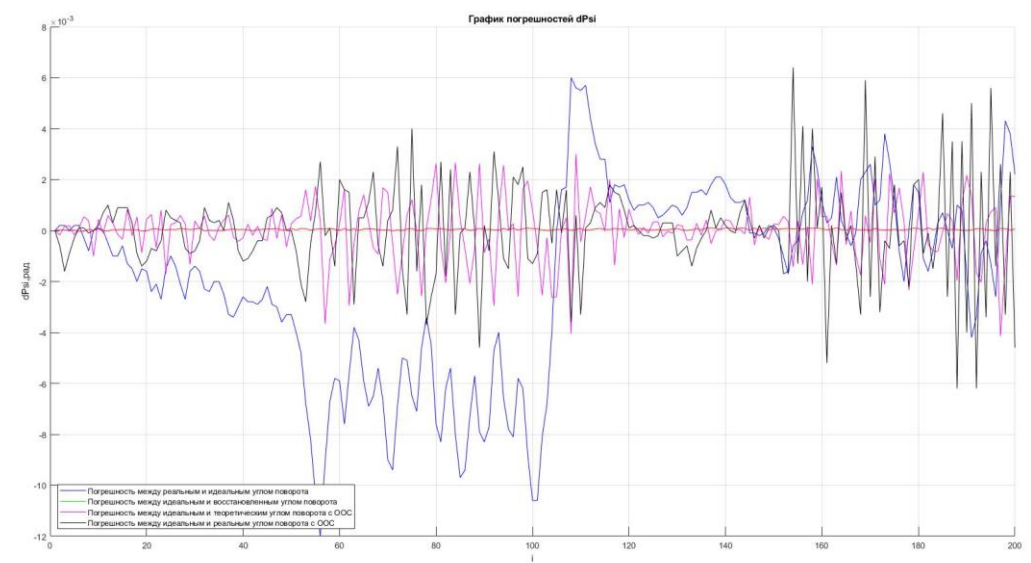
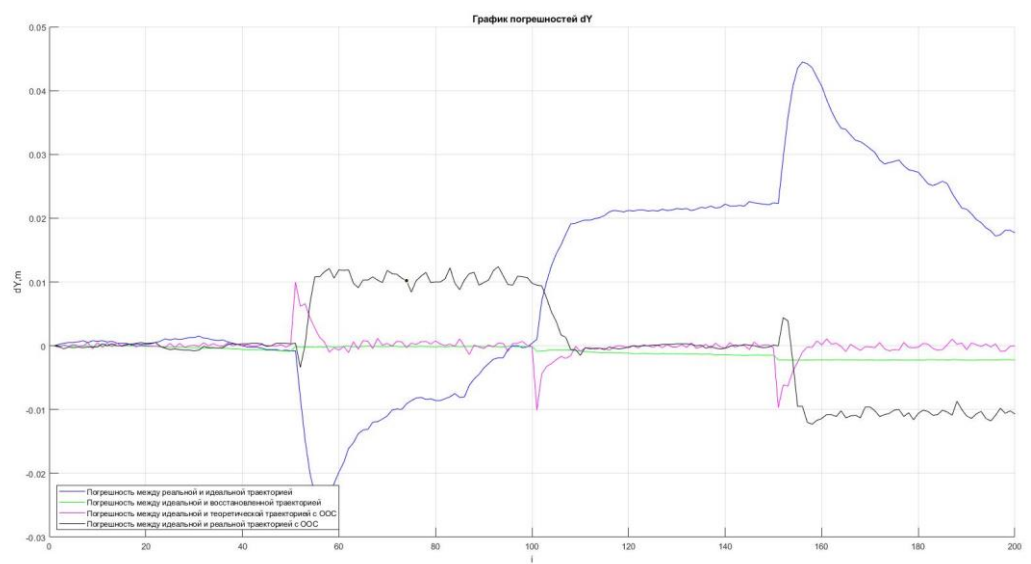
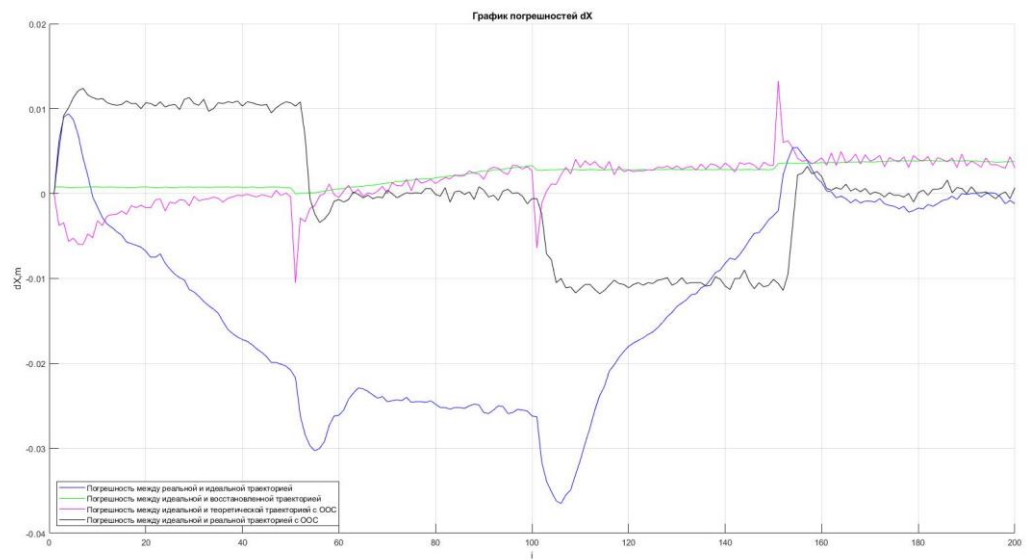
Где \dot{x}_0^* — программная невязка, \dot{x}_0 — ожидаемая координата.

- Лабораторная работа №1 и 4
- Суммарные графики траекторий.





- Графики погрешностей

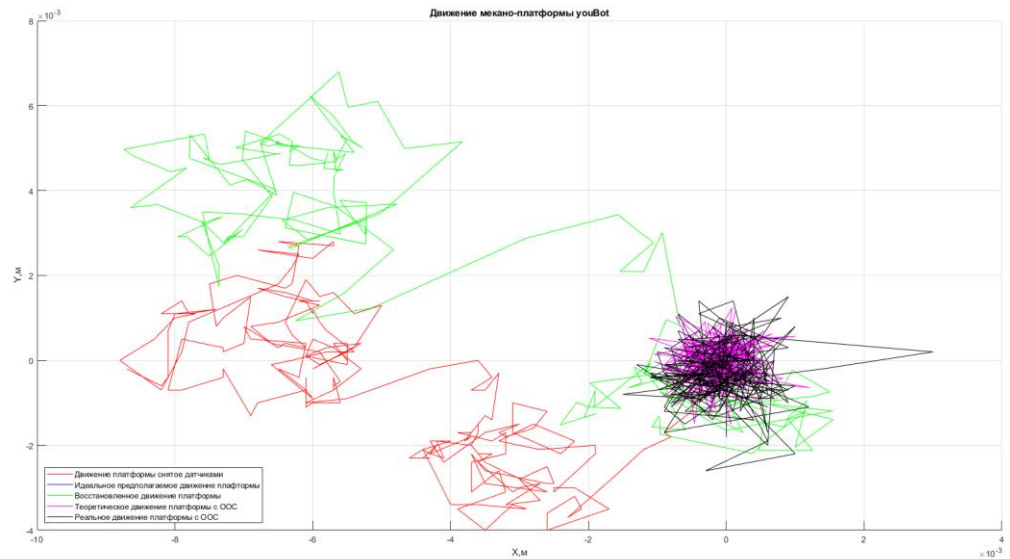


- СКО и матожидания

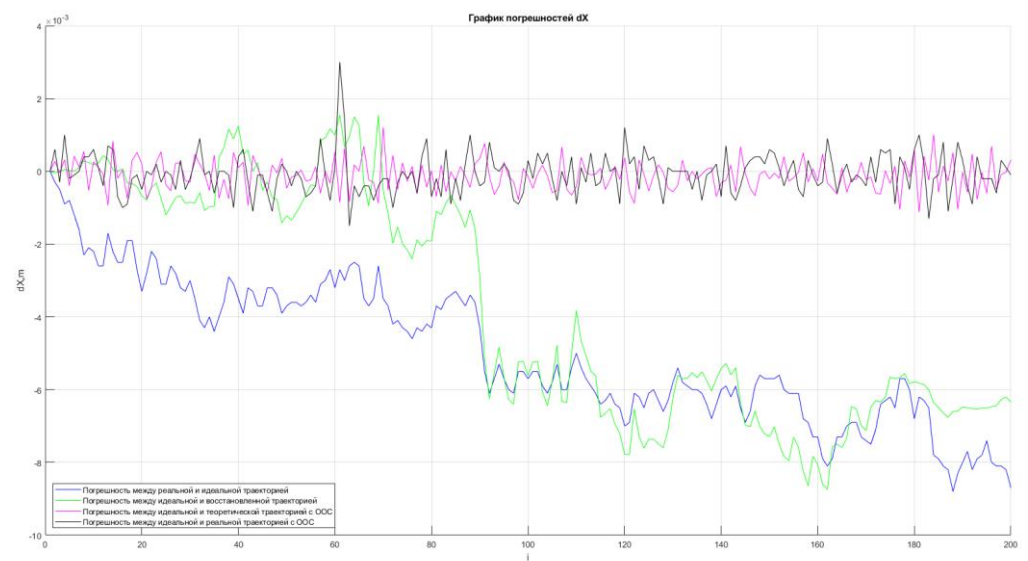
Тип движения	МатОжидание для X	МатОжидание для Y	МатОжидание для Psi
Реальная	-0.0129	-0.0098	0.0018
Восстановленное	-0.0022	9.5515e-04	-4.3600e-05
Теоретическая ООС	-0.0015	1.4308e-04	6.3540e-07
Реальная ООС	-3.7000e-05	-1.8850e-04	-1.1500e-05

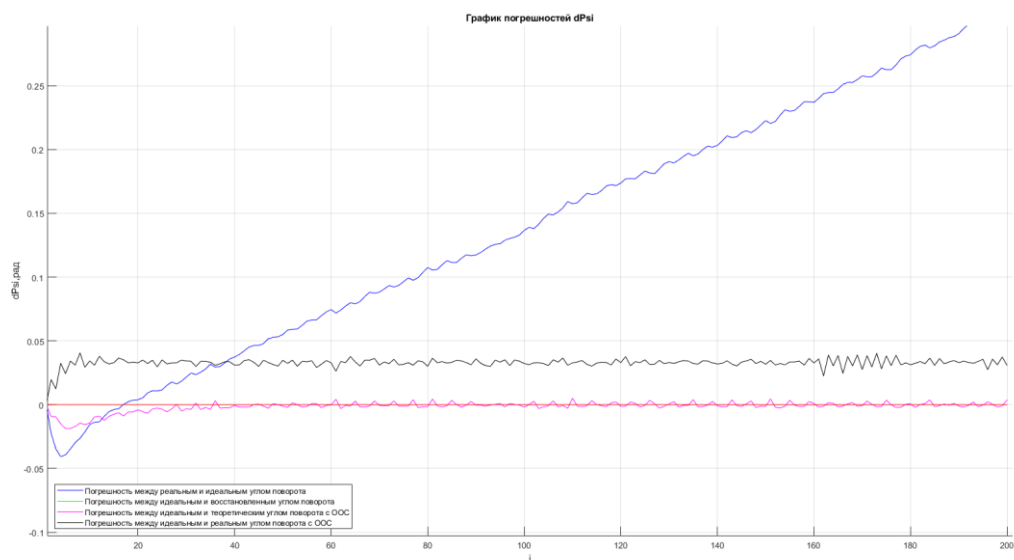
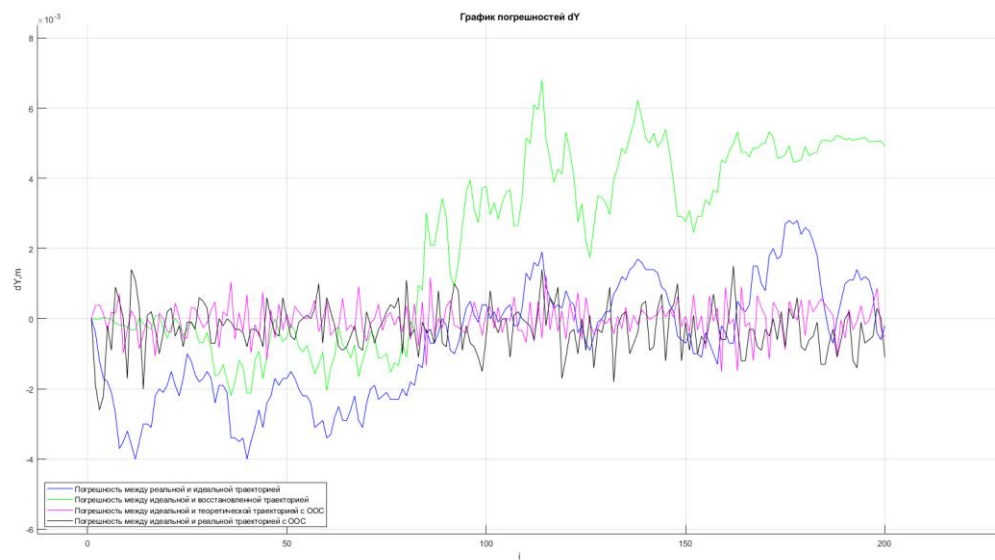
Тип движения	СКО для X	СКО для Y	СКО для Psi
Реальная	0.0116	0.0163	0.0037
Восстановленное	0.0013	8.5501e-04	3.0704e-05
Теоретическая ООС	0.0028	0.0017	0.0012
Реальная ООС	0.0076	0.0074	0.0020

- Лабораторная работа №2 и 5
- Суммарные графики траекторий.



- Графики погрешностей



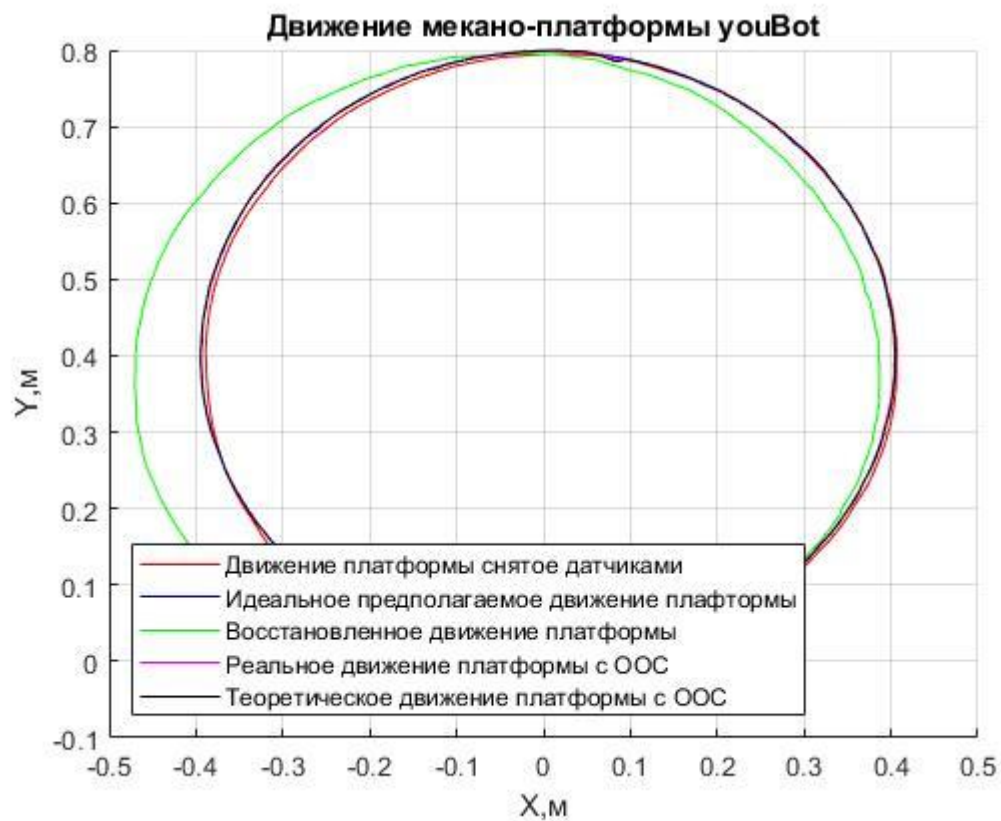


- СКО и матожидания

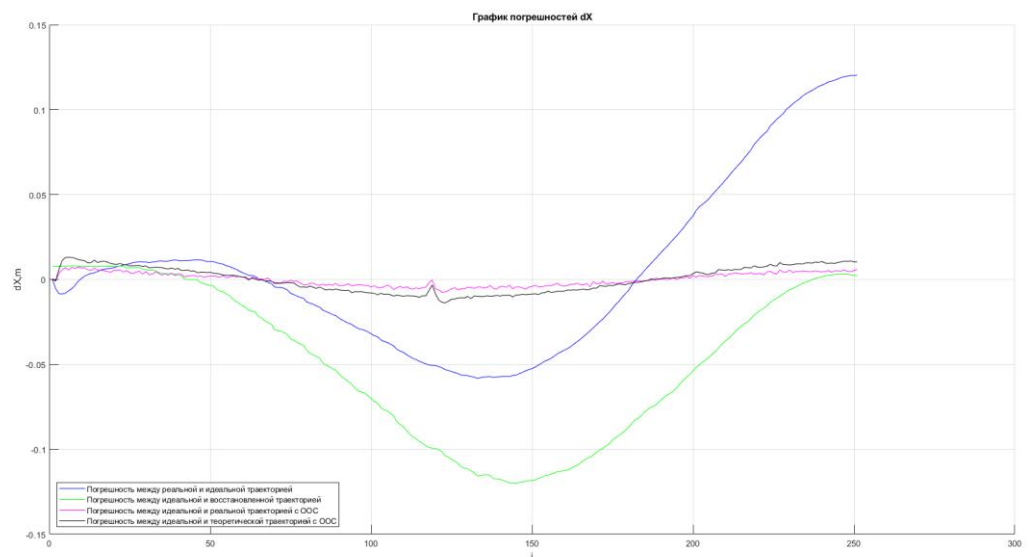
Тип движения	МатОжидание для X	МатОжидание для Y	МатОжидание для Psi
Реальная	0.0050	6.9350e-04	-0.1393
Восстановленное	0.0037	-0.0021	-1.0738e-16
Теоретическая ООС	1.1001e-04	2.9530e-05	0.0014
Реальная ООС	6.8000e-05	2.8050e-04	-0.0328

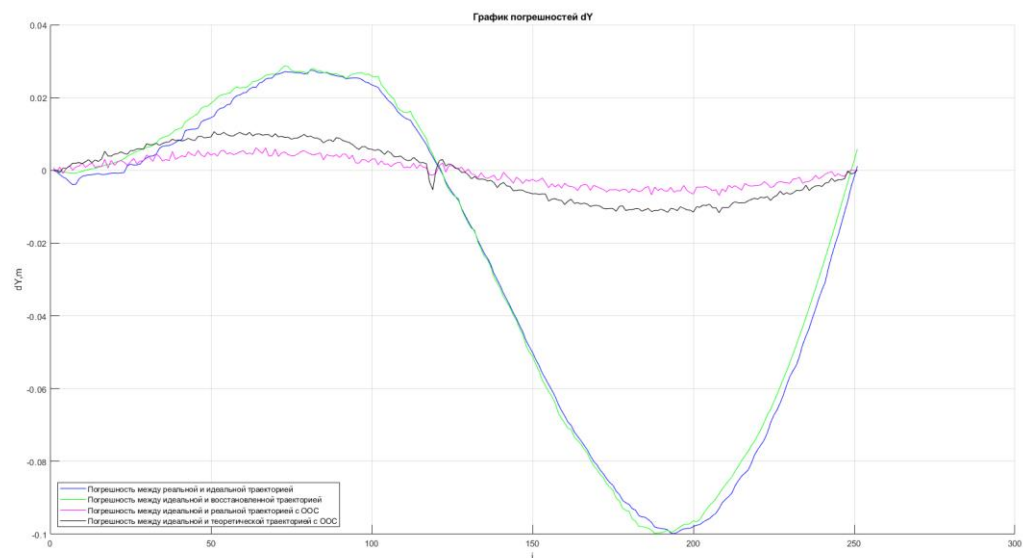
Тип движения	СКО для X	СКО для Y	СКО для Psi
Реальная	0.0019	0.0017	0.0981
Восстановленное	0.0031	0.0026	2.9814e-05
Теоретическая ООС	4.2714e-04	4.8925e-04	0.0040
Реальная ООС	5.6228e-04	6.8286e-04	0.0039

- Лабораторная работа №3 и 6
- Суммарные графики траекторий.



Графики погрешностей





- СКО и матожидания

Тип движения	МатОжидание для X	МатОжидание для Y	МатОжидание для Psi
Реальная	-0.0048	0.0251	-0.1453
Восстановленное	0.0481	0.0236	-0.0192
Теоретическая ООС	-9.9559e-06	3.2256e-04	-0.0130
Реальная ООС	-4.9000e-05	5.3927e-04	-0.0260

Тип движения	СКО для X	СКО для Y	СКО для Psi
Реальная	0.0303	0.0391	0.0739
Восстановленное	0.0452	0.0447	3.5437e-05
Теоретическая ООС	0.0038	0.0038	0.0018
Реальная ООС	0.0074	0.0075	0.0034

Параметры Кулоновского трения для ЛР №1. (Поступательное движение)

$$p = \begin{bmatrix} \xi_L \\ \xi_T \\ F_1 \\ F_2 \end{bmatrix} = \begin{bmatrix} -8.561829441156613 \\ -4.0899258374539125 \\ 3.7739298878415344 \\ -0.33746027005218937 \end{bmatrix}$$

Параметры Кулоновского трения для ЛР №4. (Поступательное движение)

$$p = \begin{bmatrix} \xi_L \\ \xi_T \\ F_1 \\ F_2 \end{bmatrix} = \begin{bmatrix} -127.69505116791291 \\ -120.60124038512538 \\ 62.93811611823146 \\ -0.37673248131783427 \end{bmatrix}$$

